

蜘蛛抱蛋根茎中的甾体皂甙

陈昌祥 周俊

(中国科学院昆明植物研究所植物化学开放研究实验室, 昆明 650204)

摘要 从蜘蛛抱蛋(*Aspidistra elatior* Bl.)根茎的甲醇提取物中分离得两个甾体皂甙。经波谱解析及化学降解证明其化学结构分别为薯芋皂甙元-3-O- $[\beta$ -D-葡萄糖吡喃糖基(1 \rightarrow 2)]- $[\beta$ -D-木吡喃糖基(1 \rightarrow 3)]- β -D-葡萄糖吡喃糖基(1 \rightarrow 4)- β -D-半乳吡喃糖甙(即蜘蛛抱蛋甙 aspidistrin)及新静诺特皂甙元-3-O- $[\beta$ -D-葡萄糖吡喃糖基(1 \rightarrow 2)]- $[\beta$ -D-木吡喃糖基(1 \rightarrow 3)]- β -D-葡萄糖吡喃糖基(1 \rightarrow 4)- β -D-半乳吡喃糖甙,后者为一新甙,命名为新蜘蛛抱蛋甙 reoaspidistrin。

关键词 百合科, 蜘蛛抱蛋, 甾体皂甙, 新蜘蛛抱蛋甙

STEROIDAL SAPONINS FROM ASPIDISTRA ELATIOR

CHEN Chang-Xiang, ZHOU Jun

(Laboratory of Phytochemistry, Kunming Institute of Botany, Chinese Academy of Sciences, Kunming 650204)

Abstract Two steroidal saponins were isolated from the rhizome of *Aspidistra elatior*. On the basis of detailed chemical and spectroscopic evidence, their structures were elucidated to be diosgenin-3-O- $[\beta$ -D-glucopyranosyl(1 \rightarrow 2)]- $[\beta$ -D-xylopyranosyl(1 \rightarrow 3)]- β -D-glucopyranosyl(1 \rightarrow 4)- β -D-galactopyranoside(aspidistrin) and neobotogenin-3-O- $[\beta$ -D-glucopyranosyl(1 \rightarrow 2)]- $[\beta$ -D-xylopyranosyl(1 \rightarrow 3)]- β -D-glucopyranosyl(1 \rightarrow 4)- β -D-galactopyranoside respectively. The latter is new steroidal saponin and named a neoaspidistrin.

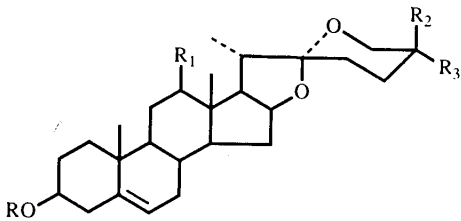
Key words Liliaceae, *Aspidistra elatior*, Steroidal saponin, Neoaspidistrin

蜘蛛抱蛋(*Aspidistra elatior* Bl.)亦称蛇退,系百合科(Liliaceae)蜘蛛抱蛋属植物。具有滋阴补肾的功效,民间广泛用于治疗跌打损伤。自1982年以来日本学者对其进行了研究^[1,2],分离到若干甾体皂甙。作者对云南大理产的蜘蛛抱蛋进行了研究,从其根茎的甲醇提取物中分离得到两个甾体皂甙。本文报道我们的研究成果。

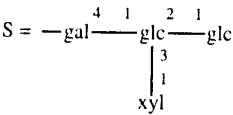
甙A: 为无色针晶。mp 283—286℃(分解)。FAB-MS给出分子式为: $C_{50}H_{80}O_{22}$, ^{13}C NMR(表1)提示其甙元为薯芋皂甙元(diosgenin),糖部分显示4个端基碳的信号。甙A经酸全水解,所得甙元与已知薯芋皂甙元 TLC对照, Rf值完全一致,且混合 mp 不下降。酸水解液中和后与已知糖对照纸层析,检查出半乳糖,葡萄糖,木糖,其比例为1:2:1。糖部分的 ^{13}C NMR化学位移值与文献上报蜘蛛抱蛋甙(aspidistrin)糖部分的化学位移值基本一致^[1],其它物理常数也相符。根据以上数据,甙A即为前人从该植物中分离到的蜘蛛抱蛋甙,其结构为薯芋皂甙元-3-O- $[\beta$ -D-葡萄糖吡喃糖基(1 \rightarrow 2)]- $[\beta$ -D-

木吡喃糖基 (1→3)] -β-D-葡萄吡喃糖基 (1→4) -β-D-半乳吡喃糖甙。

甙 B: 为无色针晶, mp 285—289℃ (分解)。FAB-MS 给出分子离子峰为 m/z 1046 (M⁺)C₅₀H₇₈O₂₃, IR 示有羰基, 螺甾缩酮环, 并提示 C₂₅ 为 S 构型 (912) 895 cm⁻¹). ¹³C NMR 谱甙元部分的化学位移与薯蓣皂甙元的化学位移值不同(表 1), C₂₅ 位甲基往高场位移到 δ16.05 说明 C₂₅ 应为 S 构型与 IR 提示一致。C₁₂ 位消失, 在 δ213.06 出现一个季碳信号, 提示 C₁₂ 位存在羰基, 而 C₁₁ 和 C₁₃ 位分别低场位移 15.59 和 14.58 ppm 达到 δ37.19 及 55.16, 进一步证明 C₁₂ 位存在羰基。据此推测甙元为新静诺特皂甙元(neobotogenin)。



	R	R ₁	R ₂	R ₃
diosgenin	H	H	H	CH ₃
aspidistrin	S	H	H	CH ₃
neobotogenin	H	=O	CH ₃	H
neoaspidistrin	S	=O	CH ₃	H



甙 B 经酸全水解所得甙元的¹H NMR, ¹³C NMR 和其它物理常数与文献值一致^[3]。故甙元为新静诺特皂甙元。水解液中和后纸层析检出木糖, 葡萄糖和半乳糖, 其比例为 1 : 2 : 1。甙 B 糖部分的¹³C NMR 化学位移值与前述甙 A 和 aspidistrin 糖部分的化学位移值一致。FAB-MS 给出的主要碎片离子峰为 m/z 883(M-glc)⁺, 913(M-xyl)⁺, 573(M-2glc-xyl)⁺, 进一步证明糖的连接顺序与上述两个皂甙一致。故甙 B 的化学结构为: 新静诺特皂甙元-3-O-[β-D-葡萄吡喃糖基 (1→2)] - [β-D-木吡喃糖基 (1→3)] -β-D-葡萄吡喃糖基 (1→4) -β-D-半乳吡喃糖甙。该甙为一新的甾体皂甙, 命名为新蜘蛛抱蛋甙(neoaspidistrin)。

实验部分

熔点用显微熔点仪测定, 温度未校正。¹H NMR 和¹³C NMR 用 Bruker AM-400 超导核磁共振仪测定, 以 TMS 为内标, C₃D₅N 为溶剂。IR 使用 Perkin-Elmer577 分光光度仪测定, KBr 压片。FAB-MS 使用 VGZAB-HS 质谱仪, EI-MS 使用 Finnegan-4510。硅胶 (100—200 目) 及硅胶 H 为青岛海洋化工厂生产。硅胶薄层析 Kieselgel 60 F₂₅₄ 板 (0.2mm, Merck)。反相柱层析使用 Lichroprorep Rp-8 (40—63μm, Merck), 显色剂 7%硫酸乙醇液。

大理产蜘蛛抱蛋 1 kg 根茎, 用 MeOH 回流提取 4 次。提取物经硅胶柱层析分离纯化, 用 CHCl₃-MeOH-H₂O(8 : 2 : 0.1—7 : 3 : 0.5)洗脱。再经硅胶 H 柱层析, 用 CHCl₃-MeOH-H₂O(8 : 2 : 0.1) 洗脱得 1.1 g, 该洗脱部分经 Rp-8 反相柱层析纯化, 用 MOH-H₂O(8.5 : 1.5, v/v)洗脱得甙 A 0.5g(0.05%)和甙 B 0.3g(0.03%)。

甙 A: mp 283—286℃ (分解) IRν_{max}^{KBr}cm⁻¹: 3200—3400(OH); ¹H NMR: 5.55(1H, d, J=7.5Hz, xyl C₁-H), 5.19(1H, d, J=7.9Hz, glc C₁-H), 5.14(1H, d, J=7.9Hz, glc C₁-H), 4.86(1H, d, J=7.56Hz gal. C₁-H), 1.14(3H, d, 1=6.8Hz C₂₁-H₃), 1.08(3H, d, J=7.0 C₂₇-H₃), 0.93(3H, s, C₁₉-H₃), 0.88(3H, s, C₁₈-H₃). ¹³C NMR 见表 1 和 2。FAB-MS m/z: 1032(M⁺, C₅₀H₈₀O₂₂), 899[M-133(xyl)]⁺, 876[M+Li-163(glc)]⁺, 584[M+Li-456(2glc+xyl)-H]⁺。

甙 A 的酸水解: 取 A 50mg 溶于 10mL 甲醇中, 加入 4mol/L 盐酸 10mL, 回流水解 4h。加入 10mL 水后回收甲醇, 冷却过滤得甙元。甙元经 MeOH 重结晶, mp 204—205℃, 与已知 diosgenin 混合 mp 204—206℃, TLC 水解液经强碱型 732 离子交换树脂处理后检查糖。纸层析展开剂为正丁醇-苯-吡啶-水(5:1:3.3), 检查出葡萄糖, 木糖, 半乳糖(2:1:1)。

甙 B: mp 285—290℃ (分解) IR $\nu_{\text{max}}^{\text{KBr}}$ cm⁻¹: 3300—3500(OH), 1700(C=O), 980, 912, 895(912>895); ¹H NMR 5.51(1H, d, J=7.6Hz, xyl C₁-H), 5.15(1H, d, J=7.6Hz, glc C₁-H), 5.11(1H, d, J=7.7Hz, glc C₁-H), 4.83(1H, d, J=7.4Hz, gal C₁-H), 1.33(3H, d, J=6.7Hz, C₂₁-H₃), 1.09(3H, s, C₁₈-H₃), 1.073(3H, d, J=7.0Hz, C₂₇-H₃), 0.926(3H, s, C₁₉-H₃), ¹³C NMR (见表 1 和表 2)。 FAB-MS m/z: M⁺1046(M⁺, C₅₀H₇₈O₂₃⁺), 913[M-133(xyl)]⁺, 883[M-163(glc)]⁺, 750[M-296(glc+xyl)]⁺, 589[M-457(2glc+xyl-H)]⁺, 457[2glc+xyl]⁺。

表 1 甙元部位的¹³C NMR 化学位移

Table 1 ¹³C NMR chemical shifts of aglycon moieties in pyridine-d₅(ppm)

C	diosgenin	aspidistrin	nebotogenin ³	nebotogenia	neoaspidistrin
1	37.6	37.61	36.9	36.92	37.73
2	30.2	30.25	31.3	31.52	30.0
3	78.5	78.41	71.2	71.40	78.65
4	39.4	39.36	42.0	42.09	39.24
5	141.2	141.18	140.9	140.73	141.09
6	121.6	121.74	121.0	121.16	121.55
7	32.4	32.29	31.6	31.63	31.93
8	32.0	31.80	30.9	31.35	31.10
9	50.5	50.43	52.2	52.27	52.54
10	37.2	37.17	37.2	37.26	37.50
11	21.2	21.24	37.4	37.41	37.19
12	40.0	40.01	213.4	213.36	213.06
13	40.6	40.58	54.8	54.82	55.116
14	56.8	56.78	56.0	56.06	56.23
15	32.3	32.41	31.3	31.44	31.71
16	81.2	81.33	79.4	79.38	79.87
17	63.1	62.84	53.2	53.27	54.05
18	16.4	16.45	15.9	15.88	16.44
19	19.5	19.52	19.0	19.02	18.09
20	42.1	42.60	42.8	42.84	43.31
21	15.0	14.99	13.1	13.09	13.84
22	109.3	109.9	109.7	109.78	110.03
23	31.8	31.80	26.1	26.13	26.58
24	29.4	29.50	25.8	25.85	26.31
25	30.7	30.70	27.10	27.13	27.66
26	67.0	65.25	65.20	65.25	65.43
27	17.3	17.20	16.0	16.08	16.05

甙 B 酸水解: 取甙 B 120mg 溶于 12.5 mL 二氧六烷, 加入 12.5 mL 4mol/L 盐酸回流水解 4h, 加入 13mL 水, 蒸除二氧六烷, 用 CHCl₃ 提取 3 次得提取物 35mg。经硅胶 H 柱层析纯化, 用石油醚-乙酸乙酯(6:4)洗脱, MeOH 重结晶, 得新静诺特皂甙元无色针晶 20mg, mp 205—207℃, IR $\nu_{\text{max}}^{\text{KBr}}$ cm⁻¹: 3300—3500(OH), 1700(C=O), 1652(C=C), 950, 912, 895(912>895)。 EI-MS m/z: 428(M⁺, C₂₇H₄₀O₄⁺),

$410(\text{M}-\text{H}_2\text{O})^+$, $139(\text{C}_9\text{H}_{15}\text{O})^+$, $126(\text{C}_8\text{H}_{14}\text{O})^+$. ^{13}C NMR 见表 1, 水解液按甾 A 方法纸层析检出葡萄糖、半乳糖和木糖, 比例为 12 : 1 : 1。

新静诺特皂甙元的乙酰化反应: 5 mg 于醋酐-吡啶常温常法乙酰化, 得乙酰化物 mp 213—215℃, EI-MS m/z : $470(\text{M}^+, \text{C}_{29}\text{H}_{42}\text{O}_5)$, $139(\text{C}_9\text{H}_5\text{O})^+$ 。

表 2 糖部位的 ^{13}C NMR 化学位移

Table 2 ^{13}C NMR chemical shifts of sugar moieties in pyridine- d_5 (ppm)

	aspidistrin ⁽¹⁾	aspidistrin	neoaspidistrin
gal 1	102.8	102.85	102.90
2	73.1	73.24	73.22
3	75.3	75.38	75.65
4	79.7	79.92	79.98
5	76.0	76.21	76.17
6	60.7	60.71	60.81
glc 1	104.9	105.11	105.01
2	81.2	81.33	81.29
3	87.2	87.04	87.21
4	70.7	70.84	70.87
5	77.9	77.87	77.94
6	62.7	62.57	62.65
glc 1	104.9	105.01	105.01
2	75.1	75.15	75.17
3	78.6	78.69	78.65
4	70.5	70.54	70.54
5	77.5	77.63	77.61
6	63.1	63.05	63.06
xyl 1	104.7	104.84	104.77
2	75.6	75.62	75.42
3	78.6	78.41	78.27
4	71.3	71.18	71.30
5	67.2	67.37	67.35

gal: galactose, glc: glucose, xyl: xylose

致谢 连红兵参加部分实验室工作, 波谱测试由本室物理仪器组测定, 植物样品由李恒教授鉴定。

参 考 文 献

- [1] Yasuaki Hiraj, Tenji Konishi, Shuichi Sanada *et al.* Studies on the constituents of *Aspidistra elatior* Blume I. On the steroids of the underground part. *Chem Pharm Bull*, 1982, 30(10): 3476—3484.
- [2] Tenji konishi, Shu Kiyosawa, Junzo Shoji. Studies on the constituents of *Aspidistra elatior* Blume II, On the steroidal glycosides of the leaves (1). *Chem Pharm Bull*, 1984, 32(4): 1451—1460.
- [3] Elgamal M H A, Bedour M S. Steroidal sapogenins: part X VI—carbon-13 nuclear magnetic resonance spectra of some natural & synthetic steroidal sapogenins. *Indian J Chem*, 1980, 19B: 549—551.